

京都大学防災研究所 正員 宇民 正  
上野鉄男

(1) まえがき 橋脚前面には馬蹄型渦の存在により特徴づけられる三次元的で複雑な局所流の発生が認められる。このよき局所流は、移動床の場合には橋脚周囲の局所洗掘の原因となるといふ点で工学的に重要であるし、同時に渦度の集中と流れの流体力学的な興味ある問題をも提示している。橋脚周囲の流れはいつまでもなく乱流であるが、乱流状態ではこうした局所的な現象の把握が困難なこともある。著者はまず層流状態で実験を行ない、こうした流れの機構についていくつかの点を明らかにし、またモデル設定の下で解析を行なうこと試して来た。ところが最近熱線流速計が水流計測面でも実用化されたり、乱流状態でもかなり正確に流れを計測することが可能になってきた。そこで本報告では、乱流状態の下で円柱橋脚前面の流れの三次元的な機械を熱線流速計を用いて計測した結果について述べる。計測の目的は橋脚前面の平均流の三次元的な特性を明らかにすること、および先に述べた層流についての解析モデルの乱流への応用の適否を検討することにある。

(2) 実験条件 実験は幅40cmの透明アクリル樹脂製水路の中央に直径8cmの円柱橋脚を一本設置した場合について行ない、流量は9.62 l/s、水路床こう配は1/500に設定した。水路の下流端を若干せり上げて、円柱橋脚付近で水深が2.4cmで一定に保つようにした。そりとさり平均流速は32.5 cm/s、流れのフルード数は0.382である。熱線流速計はその支持棒を鉛直にし、熱線は主流流下方に向(X軸方向)に直角に設置したので、設置方向と平均流向とは逆にともう一度測定値の修正が必要であり、また乱れの強さの大きい所では実測値は実際の値より大きくなることも考えられるが、ひとまずここでは実測値が平均的な絶対流速を意味すると考えて資料整理した。また流向は、測定地点に細管を通じてミルを注入し、その平均的な流下方向を読めた。用いた座標軸は図-1に示すとおりである。

(3) 渦軸の位置と流れの領域区分 流れの対称面における平均流向の実測結果は図-2のようである。乱流の場合、橋脚前面には複数個の渦が存在し、橋脚に最も近い渦が強さの点でも大きさの点でも最大であることが認められる。この渦を主渦とよぶことにする。主渦の外側には比較的小なく不安定な渦が多数存在しているが、これを微小渦とよぶことにする。水路床に細砂をまくと図-3に示されたような縞模様が描かれるが、こうち円柱にはば同心円状の縞が主渦領域と微小渦領域との水路床面における境界を示すものと考えられる。ついで図-4は渦軸の平均的な位置( $R_0, Z_0$ )の実測値を示したものである。ただし微小渦については主渦に最も近いものについてのみ示した。この図か

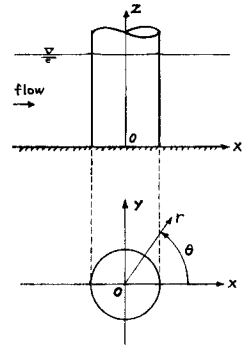


図-1 座標軸

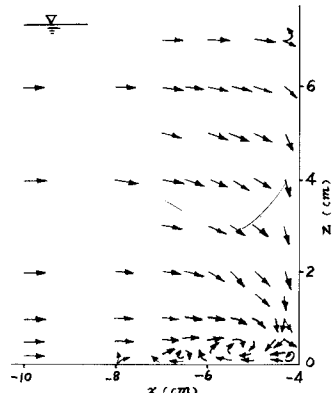


図-2 実測された平均流向

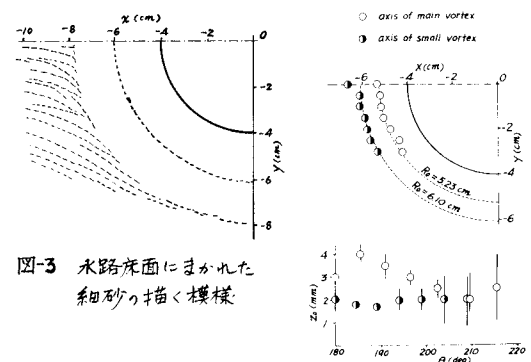


図-3 水路床面にまかれた細砂の描く模様

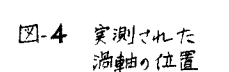


図-4 実測された渦軸の位置

ら、主渦軸も微小渦軸も水路床にはほぼ平行で、円柱揚脚と同心円状であるといえよう。

(4) 平均流向と平均流速 図-5に平均流向と平均流速の実測例を示した。当然のことながら、馬蹄型渦の存在により水面近くと水路床近くでは流向が変化する状況が著しく異っており、また水路床近くでもかなり大きな流速が生じていることが認められる。 $Z = 0.2 \text{ cm}$  断面では、実測された流速の方向成分や流向は、円柱周囲の二次元非回転流(それとは異って...)ことから上図から明らかである。そこで図-6に流速の $\theta$ 方向成分 $v_\theta$ について実測値と二次元非回転流として計算したものを比較した。この図から $v_\theta$ については二次元非回転流にかなり近いことが認められる。この事実は(3)で述べた渦軸の形状と位置に関する結論と共に重要である。

すなまち、解析モデルにおいて流れが主流と二次流どちらが大きいことで、主流は二次元非回転流、二次流は渦軸

のまわりの回転運動と考えた誤りだが、渦軸が円柱とは同心円状であ

ることから二次流の始まりとなるので、主流は二次元非回転流として妥

当であると考えらる。

(5) Johnston<sup>2)</sup>の三角形モデルの検討 若干の測定点について

Johnston 提案した三角形モデルを検討してみたものが図-7である。

ただし図中の()内の数字は測定点の $x, y$ 座標(cm)を示し、流速ベクトルの傍に記した数字は測定点の $z$ 座標(cm)を示す。本図から流速

ベクトルの $\theta$ 方向の変化、模様は二群に分けられることが明らかになった。

すなまち、左一群は(a)(b)で Johnston の三角形モデルが全く成立

っておらず、右一群は(c)(d)でそれがほぼ成立している。本図を

図-3と照合してみると、主渦領域に含まれる測定点については Johnston のモデルが成立していないことがわかる。

(6) 乱れの相対強さ 乱れの相対強さの実測例を図-8に示す。図から、渦軸に近い $Z = 0.2 \text{ cm}$ の断面でしかも主渦の発生地点付近でかなり強く乱れがあり、そこから流下するにつれて相対強さの大きさが位置が主渦と微小渦との境界あたりへ移動していくことが認められる。なお、 $Z = 1.0 \text{ cm}$ の断面では乱れの相対強さが全般的に小さくなっていることに、等強度線の尾根の位置も $Z = 0.2 \text{ cm}$ 断面にくらべて円柱から遠ざかっていることが認められる。さらに $Z = 6.0 \text{ cm}$ では相対強さはその最大直か $0.2$ にまで減少していることが実測された。

参考文献 1) 宇民正: 厚流実験に基づく揚脚前面の局所流れの研究、土木学会論文報告集、No. 228 1974-8 (発表予定)。

2) Johnston J.P.: On the three-dimensional turbulent boundary layer generated by secondary flow, Trans. ASME, Ser. D 82, 1960 pp 233-250.

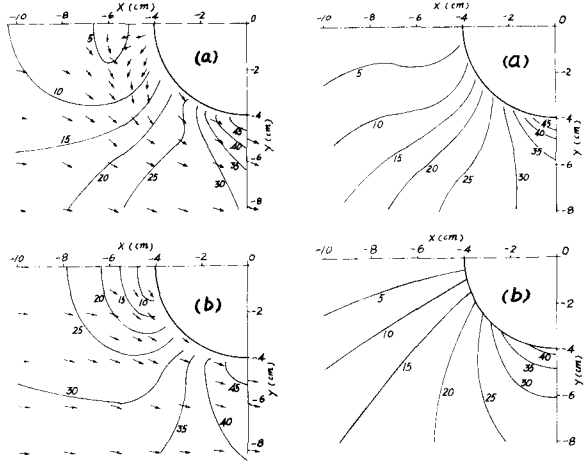


図-5 実測された平均流向  
と平均流速(単位: cm/s)  
(a)  $Z = 0.2 \text{ cm}$  断面  
(b)  $Z = 6.0 \text{ cm}$  断面

図-6  $v_\theta$  の検討(単位: cm/s)  
(a) 実測値  
(b) 二次元非回転流としたときの計算値

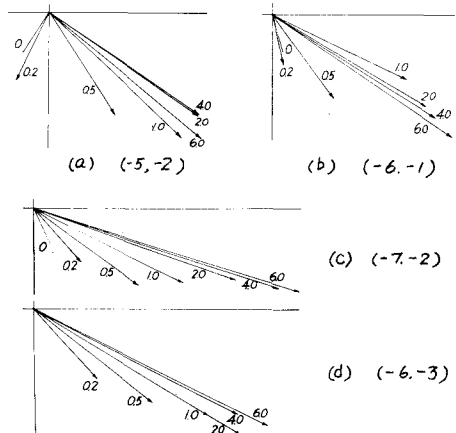


図-7 Johnston の三角形モデルの検討

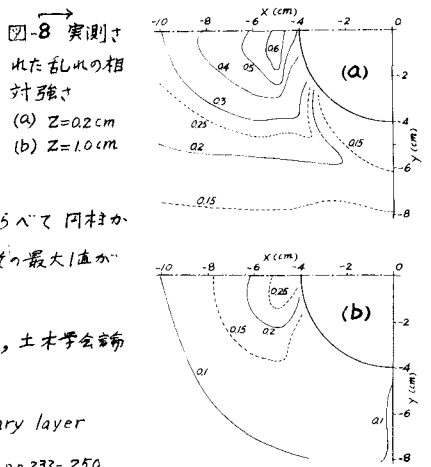


図-8 実測された乱れの相対強さ  
(a)  $Z = 0.2 \text{ cm}$   
(b)  $Z = 1.0 \text{ cm}$